



Corso Luigi Einaudi, 55 - Torino

**Appunti universitari**

**Tesi di laurea**

**Cartoleria e cancelleria**

**Stampa file e fotocopie**

**Print on demand**

**Rilegature**

NUMERO: 708

DATA: 07/10/2013

# **A P P U N T I**

STUDENTE: Beghini

MATERIA: Fisica I

Prof. Montorsi

Il presente lavoro nasce dall'impegno dell'autore ed è distribuito in accordo con il Centro Appunti.

Tutti i diritti sono riservati. È vietata qualsiasi riproduzione, copia totale o parziale, dei contenuti inseriti nel presente volume, ivi inclusa la memorizzazione, rielaborazione, diffusione o distribuzione dei contenuti stessi mediante qualunque supporto magnetico o cartaceo, piattaforma tecnologica o rete telematica, senza previa autorizzazione scritta dell'autore.

**ATTENZIONE: QUESTI APPUNTI SONO FATTI DA STUDENTIE NON SONO STATI VISIONATI DAL DOCENTE.  
IL NOME DEL PROFESSORE, SERVE SOLO PER IDENTIFICARE IL CORSO.**

MOTO RETTILINEO UNIFORME

$x(t)$

spostamento

$$\Delta x = x(t_2) - x(t_1) = x_2 - x_1$$

velocità

→ tasso cambiamento posizione

$$v_{MEDIA} = \frac{x_2 - x_1}{t_2 - t_1} = \frac{\Delta x}{\Delta t}$$

$$x_2 = x_1 + v_M(t_2 - t_1)$$

coeff. angolare retta secante

VISTANTANEA

$$v(t) = \lim_{\Delta t \rightarrow 0} \frac{\Delta x}{\Delta t} = \left( \frac{dx}{dt} \right) \text{ pendenza retta tangente}$$

accelerazione → tasso incremento velocità

$$a_{MEDIA} = \frac{v_2 - v_1}{t_2 - t_1}$$

$$v_2 = v_1 + a_M(t_2 - t_1)$$

coeff. angolare retta secante  
 $a_M = \tan \alpha$

2<sup>IST</sup>

$$a(t) = \lim_{\Delta t \rightarrow 0} \frac{\Delta v}{\Delta t} = \lim_{t_2 \rightarrow t_1} \frac{v_2 - v_1}{t_2 - t_1} = \frac{dv}{dt}$$

$$a = \frac{dv}{dt} = \frac{d}{dt} \left( \frac{dx}{dt} \right) = \frac{d^2 x}{dt^2}$$

derivata<sup>1</sup> → pendenza  
derivata<sup>2</sup> → curvatura (inverso r)

$$a(t) \propto \frac{1}{r}$$

più raggio piccolo,  $a$  è elevata.  
con  $r \rightarrow \infty, \frac{1}{r} \rightarrow 0, a = v = \text{cost}$

PROBLEMA INVERSO : ricostruiamo posizione partendo da  $v$  (e  $a$ )

•  $v = \frac{dx}{dt}$

$$\int_{x_1}^{x_2} dx = \int_{t_1}^{t_2} v dt$$

$$x_2 - x_1 = v(t_2 - t_1)$$

MRU con  $v = \text{cost}$

$v$  non cost

$$x_2 = x_1 + \int_{t_1}^{t_2} v dt$$

•  $a = \frac{dv}{dt}$

$$\int_{v_1}^{v_2} dv = \int_{t_1}^{t_2} a dt$$

$$v_2 = v_1 + a(t_2 - t_1)$$

2<sup>MA</sup> MRUA con  $a = \text{cost}$

$$v_2 = v_1 + \int_{t_1}^{t_2} a(t) dt$$

$$\vec{v}_{ist} = \lim_{\Delta t \rightarrow 0} \frac{\Delta \vec{r}}{\Delta t} = \left( \lim_{\Delta t \rightarrow 0} \frac{\Delta x}{\Delta t} \right) \vec{i} + \left( \lim_{\Delta t \rightarrow 0} \frac{\Delta y}{\Delta t} \right) \vec{j} + \left( \lim_{\Delta t \rightarrow 0} \frac{\Delta z}{\Delta t} \right) \vec{k} =$$

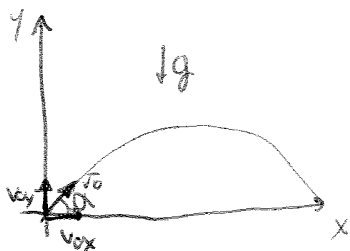
$$= \frac{dx}{dt} \vec{i} + \frac{dy}{dt} \vec{j} + \frac{dz}{dt} \vec{k}$$

$$\vec{v}(t) = \frac{d}{dt} (x\vec{i} + y\vec{j} + z\vec{k}) = \frac{d\vec{r}}{dt} \quad \underline{\vec{v}_{ist} \text{ è derivata vettore posizione}}$$

$\vec{v} = v_x \vec{i} + v_y \vec{j} + v_z \vec{k}$  moto in ogni direzione è indipendente, avvenendo solo nello stesso istante.

Le formule per MRU e MRUA sono le stesse dell'1D ma nel 3D si possono scrivere e scomporre per componenti.

MOTO PARABOLICO



$$\begin{cases} x: x = v_{0x} \cdot t + x_0 \\ y: y = -\frac{1}{2}gt^2 + v_{0y}t + y_0 \end{cases}$$

GITTATA → spazio percorso orizzontalmente da grave quando ripassa per h iniziale (y=0)

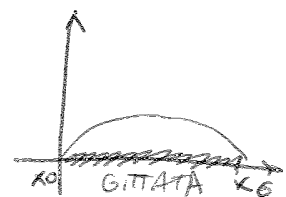
$$\begin{cases} t = \frac{x - x_0}{v_{0x}} \\ y = -\frac{1}{2}g \left( \frac{x - x_0}{v_{0x}} \right)^2 + v_{0y} \left( \frac{x - x_0}{v_{0x}} \right) + y_0 \end{cases}$$

$$\begin{cases} v_{0x} = v_0 \cdot \cos \alpha \\ v_{0y} = v_0 \cdot \sin \alpha \end{cases}$$

$$y = -\frac{1}{2}g \frac{(x - x_0)^2}{v_0 \cdot \cos^2 \alpha} + \cancel{v_0 \sin \alpha} \frac{(x - x_0)}{\cancel{v_0 \cdot \cos \alpha}} + y_0$$

$$y = -\frac{1}{2}g \frac{(x - x_0)^2}{v_0^2 \cos^2 \alpha} + (x - x_0) \operatorname{tg} \alpha + y_0$$

$\alpha = \text{angolo di gittata}$  TRAJETTORIA



$$\begin{cases} x = 0 \\ -\frac{1}{2}g \frac{x^2}{v_0^2 \cos^2 \alpha} + x \operatorname{tg} \alpha = 0 \end{cases}$$

$$\frac{-g x^2 + x \operatorname{tg} \alpha \cdot 2v_0^2 \cos^2 \alpha}{2v_0^2 \cos^2 \alpha} = 0$$

# LEGGI NEWTON

Descrivono meccanica classica <sup>cinematica</sup> (come) perché oggetti si muovono → dinamica  
 (verificati sperimentalmente non matematicamente)  
 Definiscono concetto di forza  
 postulati di meccanica

PROBLEMA CENTRALE MECCANICA CLASSICA → nota massa e condizioni iniziali  
 prevedere posizione negli istanti successivi

1<sup>a</sup> LEGGE o PRINCIPIO INERZIA → corpo non soggetto a forze esterne permane nel suo stato di quiete o di moto rettilineo uniforme se osservato in qualsiasi sist. rk. inerziale  
 SR1 = non accelera rispetto stelle fisse se  $nr \exists \perp nr \exists$  → che si muovono con  $v$  cost

2<sup>a</sup> LEGGE →  $\vec{R} = \sum \vec{F} = (m) \vec{a}$  propr. INTRINSECA per qualsiasi oggetto puntiforme  
 ↳ def. massa e forza

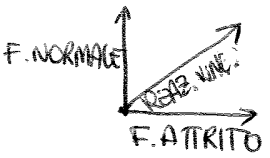
3<sup>a</sup> LEGGE → forze sempre a coppie  $F_{A,B} = -F_{B,A}$  per ogni azione  $\exists$  reazione = e contraria  
 ↳ applicate a corpi  $\neq$

$F = \text{kg} \cdot \frac{\text{m}}{\text{s}^2} = \text{N}$  Newton  
 ↳ DI CONTATTO (N, T, Fel ...) prevalentemente natura elettromagnetica in base al comportamento macroscopico  
 ↳ AZIONE A DISTANZA (Fgrav, Feletttrica, interazioni forti nuclei)

in realtà tutte F agiscono a distanza + intensa F, + evidente su distanze piccole perché corpi si organizzano a breve raggio quindi Fgrav. è debole

DIAGRAMMA CORPO LIBERO → isolare forze che agiscono su un corpo.

FORZA NORMALE = forza di contatto che si esercita tra due corpi  $\perp$  a sup. di contatto.  
 componente  $\perp$  reaz. vincolare  
 mentre componente  $\parallel$  è forza attrito



$\sum F = 0$  STATICA  
 $\sum F \neq 0$  DINAMICA

PESO APPARENTE = forza peso di una massa misurata in un SR non inerziale ( $\neq N$ )

TENSIONE = grandezza forza misurata in un punto, ricavata immaginando di tagliare fune in quel punto.  
 se  $m$  fune trascurabile,  $T$  costante su tutta la fune

CARRUCOLE e GUIDE = per cambiare direzione forze senza alterare dim forze se lamiera o anello - senza massa

ATTRITO

- forza di contatto tra due oggetti in moto relativo, o tra due oggetti in quiete relativa spinti da forze  $\neq$ .
- interazioni a livello microscopico di natura elettromagnetica  $\rightarrow$  sup. molto levigate o molto irregolari attrito maggiore
- non dipende da dim. sup. contatto.
- genera calore
- verso opposto al moto

STATICO  $\rightarrow$  con ma sup. fermo.

$F_{max} = \mu_s N \geq F_a$  corpo fermo

$F_{statico} > F_{dinamico}$

$F_{statico}$  non ha valore noto a priori ma dipende dalle altre forze coinvolte

DINAMICO  $\left\{ \begin{array}{l} \downarrow N \\ \text{moto relativo.} \\ \text{suppone moto.} \end{array} \right.$

$F_a = \mu_k N$

SCIOLAMENTO o ATTRITO CINETICO

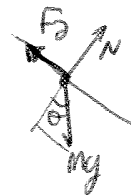
più pesante oggetto, maggiore attrito.

su piano inclinato  $F_a$  dipende da  $\theta$  inclinazione:

$F_{smax} = \mu_s mg \cos \theta = mg \sin \theta = F_a$

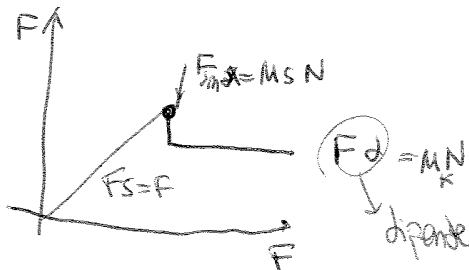
$\mu_s \cos \theta = \sin \theta$

$\mu_s = \tan \theta_{max}$



$-F_a + mg \sin \theta = 0$   
 $N - mg \cos \theta = 0$

$\mu_k < \mu_s < 1$



IN UN FLUIDO  $\rightarrow$  ATTRITO VISCOSO

$F_{RESISTIVA} = bv^n \rightarrow$  comporta raggiungimento v limite  $\cong n=1$   
 $\downarrow F = mg$

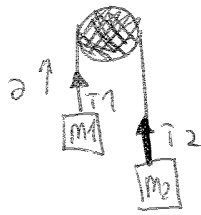
$bv - mg = m \cdot a \rightarrow$  v aumento nel tempo fin quando  $|bv| = |mg| \rightarrow a=0$   
 $v = v_{TERMINA}$

$bv = mg$

$v_T = \frac{m \cdot g}{b}$

$b \rightarrow$  coeff. attrito viscoso

MACCHINA HATWOOD → trovare sperimentalmente  $g$  misurando  $a$  a masse note



$$\begin{cases} T = m_2 g - m_2 a \\ -T + m_1 g = m_1 a \end{cases}$$

$$a = \frac{m_2 - m_1}{m_2 + m_1} g$$

$$T = \frac{(m_1 \cdot m_2)}{m_1 + m_2} 2g$$

FORZA ELASTICA - LEGGE DI HOOK

$F_x = -Kx$

- forza di richiamo → sforzare grandi spostamenti → legge di Hooke come ~~appross~~ 1° termine sviluppo Taylor
- senza attrito → MOTO ARMONICO

$x: -F_{el} = ma$   
 $-Kx = m \cdot a$

$$a = \frac{dv}{dt} = \frac{d^2x}{dt^2} \quad a = -\frac{Kx}{m}$$

$$\frac{dv}{dt} + \left( \frac{Kx}{m} \right) \omega^2 \rightarrow \omega = \sqrt{\frac{K}{m}}$$

PULSAZIONE → non dipende da A

$$\frac{d^2x}{dt^2} + \omega^2 x = 0$$

EQ. MOTO ARMONICO SEMPLICE

$x(t) = A \sin(\omega t) + B \cos(\omega t)$

$\frac{d^2x}{dt^2} = -\omega^2 A \sin(\omega t) - \omega^2 B \cos(\omega t) = -\omega^2 (x(t))$

$x(t) = A \cos(\omega t + \phi_0)$

$\omega_{circ} \neq \omega_{ARM}$

$T_{circ} = T_{arm} \rightarrow + \text{massa}, + T_{osc.}$   
 $+ K, + T$

per entrambi i casi  $\omega = 2\pi f \rightarrow$  se sommo funzioni sinusoidali con stesso T, ne ottengo una con stesso T

# MOTO ARMONICO SMORZATO

$-F_{el} - (F_v) = m \cdot a$  → attrito viscoso

$-Kx - bv = m \ddot{x}$

$+ \cancel{m} \frac{d^2 x}{dt^2} + \frac{dx}{dt} \left( \frac{b}{m} \right) + \left( \frac{K}{m} \right) x = 0$

$\frac{d^2 x}{dt^2} + 2\gamma \frac{dx}{dt} + \omega_0^2 x = 0$

EQ. DIFF. MOTO ARMONICO SMORZATO

$\gamma = \text{coeff. smorzamento} = \frac{b}{2m}$

$\omega_0 = \text{pulsazione del materiale, non dall'esterno}$

$b_c = \text{costante di smorzamento critico}$

$\Rightarrow \omega_0 = \gamma \Rightarrow b = 2m\gamma$

## MOTO ARMONICO SMORZATO FORZATO

Per mantenere in oscillazione sistema smorzato si agisce con forza periodica esterni.  
 Se  $\omega_{est} \cong \omega_0$  RISONANZA

$x = e^{\alpha t}$  sol. eq. diff. a coeff. costanti

$\frac{dx}{dt} = \alpha e^{\alpha t}$

$\frac{d^2 x}{dt^2} = \alpha^2 e^{\alpha t}$

sostituendo →  $\frac{d^2 x}{dt^2} + 2\gamma \frac{dx}{dt} + \omega_0^2 x = \alpha^2 e^{\alpha t} + 2\gamma \alpha e^{\alpha t} + \omega_0^2 e^{\alpha t} = 0$

$\alpha^2 + 2\gamma \alpha + \omega_0^2 = 0$

$\alpha = \pm -\gamma \pm \sqrt{\gamma^2 - \omega_0^2}$   
 $y(t) = A e^{\alpha_1 t} + B e^{\alpha_2 t}$   
 reale → smorzato →  $\alpha$  negativo  
 immaginaria → sol. oscilla (sin cos)

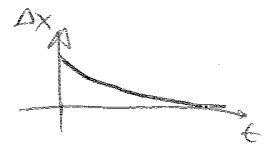
## MOTO SOVRASMORZATO

$\gamma > \omega_0$

sol. reali  $\alpha_1, \alpha_2$

sol. generale:  $x(t) = A e^{(-\gamma + \sqrt{\gamma^2 - \omega_0^2})t} + B e^{(-\gamma - \sqrt{\gamma^2 - \omega_0^2})t}$

$x(t) = A e^{(-\gamma - \sqrt{\gamma^2 - \omega_0^2})t} + B e^{(-\gamma + \sqrt{\gamma^2 - \omega_0^2})t}$



no oscillazioni

## SMORZAMENTO CRITICO

$\gamma = \omega_0$

$x(t) = e^{-\gamma t} (At + B)$

non ho parti oscillanti

vedi grafico



## MOTO OSCILLATORIO SMORZATO

$\gamma < \omega_0$

Soluzioni complesse.  $\pm i\omega$

$x(t) = e^{-\gamma t} (A e^{i\omega t} + B e^{-i\omega t})$

poiché  $x(t)$  deve essere reale →  $x(t) = e^{-\gamma t} \text{Re}(A e^{i\omega t} + B e^{-i\omega t})$   
 $(A+B = \text{reale})$   
 $(A, B \text{ compl. conj.})$

$x(t) = X_0 e^{-\gamma t} \sin(\omega t + \phi)$

pseudo periodo  $T = \frac{2\pi}{\omega}$

$V_{MAX}$  curva piana  $\rightarrow \sqrt{gR\mu}$

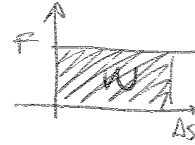
$V_{MIN}$  curva pendente  $\rightarrow V_{MIN} = \sqrt{gR \frac{(\sin \theta - \mu \cos \theta)}{(\cos \theta + \mu \sin \theta)}}$

$V_{MAX} = \sqrt{gR \frac{\sin \theta + \mu \cos \theta}{\cos \theta - \mu \sin \theta}}$

$V_{MIN} < 0$  posso andare a qualsiasi  $v$  sotto  $v$  soglia  
 $V_{MIN} > 0$  se vado sotto tale  $v$  calo nella curva.

## LAURO F COSTANTE

$W = F \cdot \Delta r = F \cdot \Delta r \cdot \cos \theta$   $\rightarrow$  lavoro solo componente  $\parallel r$



forza  $\cdot$  spostamento =  $N \cdot m = J$  Joule =  $\frac{kg \cdot m^2}{s^2}$

- dyne  $\cdot$  cm/erg)
- calorie = 4,184 J
- eV =  $1,6 \cdot 10^{-19}$  J

## NEL CASO DI PIU' FORZE

$R = F_1 + F_2$

$W_{TOT} = W_1 + W_2 = F_1 \Delta r + F_2 \Delta r = (F_1 + F_2) \Delta r$

$W_{TOT} = R \cdot \Delta r$

in generale

$W_{F_1} + \dots + W_{F_n} = \vec{F}_1 \Delta \vec{r} + \dots + \vec{F}_n \Delta \vec{r} = (\vec{F}_1 + \dots + \vec{F}_n) \Delta \vec{r} = \vec{R} \Delta \vec{r} = W_{\vec{R}}$

lavoro fatto da risultante e somma dei lavori fatti dalle singole forze  
 $\vec{R}$  e FORZA ADDITIVA.

- $\Delta t$  non conta
- $W = 0$  se  $\begin{cases} F = 0 \\ \Delta r = 0 \\ \theta = 90^\circ \end{cases}$

## LAURO FATTO DA GRAVITA'

$W_g = mg \cdot \Delta r \cdot \cos \theta = -mg \cdot \Delta y$

$W_{TOT} = \vec{F}_1 \Delta \vec{r}_1 + \dots + \vec{F}_n \Delta \vec{r}_n = F (\Delta r_1 + \dots + \Delta r_n) = mg (\Delta y)$

$\downarrow$   
vedi regola poligonale

$\rightarrow$  dipende solo dall'altezza e non dal percorso seguito.

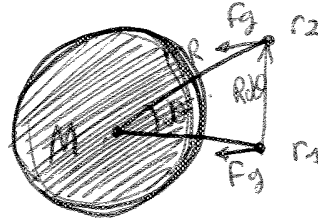
## LAVORO FATTO DA FORZA VARIABILE IN 3D

$$W_F = \int \vec{F} \cdot d\vec{r} = \int F_x dx + \int F_y dy + \int F_z dz \rightarrow 3 \text{ unidimensionali danno nel complesso 1 nello spazio}$$

$$W_R = K_f - K_i$$

### ESEMPIO: FORZA GRAVITAZIONALE

$$\vec{F}_g = - \frac{G M M_T}{R^2} \cdot \vec{r}$$



$$W_{F_g}(R_i \rightarrow R_f) = \int \vec{F}_g \cdot d\vec{r}$$

$$d\vec{r} = dR \vec{r} + R d\theta \vec{\theta}$$

$$\vec{F}_g \cdot d\vec{r} = \left( - \frac{G M M_T}{R^2} \vec{r} \right) (dR \vec{r} + R d\theta \vec{\theta}) = - \frac{G M M_T}{R^2} dR$$

$\vec{r} \cdot \vec{\theta} = 0$   
 $\vec{r} \cdot \vec{r} = 1$

$$W_{F_g} = - G M M_T \int_{R_i}^{R_f} \frac{dR}{R^2} = - \frac{G M M_T}{R} \Big|_{R_i}^{R_f} = G M M_T \left( \frac{1}{R_f} - \frac{1}{R_i} \right)$$

$$R_i = R_T$$

$$R_f = R_T + \Delta y$$

$$\Rightarrow G M M_T \left( \frac{1}{R_T + \Delta y} - \frac{1}{R_T} \right) = G M M_T \left( \frac{1}{R_T} \cdot \frac{1}{1 + \frac{\Delta y}{R_T}} - \frac{1}{R_T} \right) =$$

$$\left( \text{con } \frac{1}{1+x} \approx 1-x \right)$$

$$G M M_T \left( \frac{1}{R_T} \cdot \left( 1 - \frac{\Delta y}{R_T} \right) - \frac{1}{R_T} \right) = G M M_T \left( \frac{1}{R_T} - \frac{\Delta y}{R_T^2} - \frac{1}{R_T} \right) =$$

$$W_{F_g} = \left( \frac{G M M_T}{R_T} \right) \Delta y \rightarrow W_{F_g} = m g \Delta y \text{ in prossimità sup. terrestre.}$$

## FORZE CONSERVATIVE

Lavoro NON dipende da percorso, solo da posizione finale e iniziale (F\_GRAV, F\_ELASTICA)

lungo percorso chiuso: LAVORO NULLO → circolazione nulla ( $\oint = 0$ )

$$W_F(A \rightarrow A) = W_F(A \rightarrow B) + W_F(B \rightarrow A) = \int_A^B \vec{F} \cdot d\vec{r} + \int_B^A \vec{F} \cdot d\vec{r} = \int_A^B \vec{F} \cdot d\vec{r} - \int_A^B \vec{F} \cdot d\vec{r} = 0$$

## ENERGIA POTENZIALE

✓ F conservativa possiamo definire funzione  $\Delta U$

$$\Delta U = - W_F(A \rightarrow B) \rightarrow U_B^{(F)} - U_A^{(F)} = - \int_A^B \vec{F} \cdot d\vec{r}$$

$$U_B^{(F)} = U_B^{(F)} + C$$

$$U_A^{(F)} = U_A^{(F)} + C$$

$$\Delta U = U_B - U_A = U_B' - U_A'$$

en. pot associata ad una funzione, definisce energia associata ad F a meno di una costante arbitraria C (derivata risoluzione integrale) che nel calcolo della variazione sparisce usato per scegliere dove è nulla en. potenziale.

# GRADIENTE ENERGIA POTENZIALE

corpo ha come posizione equilibrio minimo en. potenziale.  $\vec{R} = 0$  identifica minimo energia potenziale  
 $\vec{R} = 0 \rightarrow \vec{a} = 0$  cond. equilibrio per Newton

$$\vec{R} = -\nabla U$$

↓  
derivata vettoriale

in 1D:

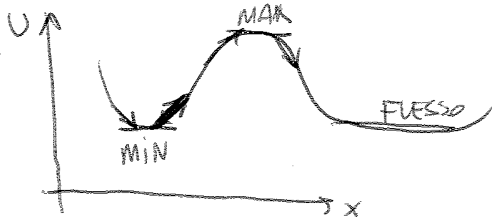
$$dW = \vec{R} dx$$

$$dW = R dx = -dU$$

variazioni infinitesime

$$R = -\frac{dU}{dx} \rightarrow \text{derivando en. potenziale arrivo alle forze}$$

## EQUILIBRIO



**(MIN)**  $dx: \frac{dU}{dx} > 0$  pendenza +  $\Rightarrow F_-$   
 spinge massa verso  $sx$

$sx: \frac{dU}{dx} < 0$  pendenza -  $\Rightarrow F_+$   
 spinge in verso

EQ. STABILE

**(MAX)**  $dx: \frac{dU}{dx} < 0 \Rightarrow F_+$  allontana m  
 $sx: \frac{dU}{dx} > 0 \Rightarrow F_-$  allontana m

EQ. INSTABILE

**(FLESSO)**  $sx, dx: \frac{dU}{dx} = 0 \rightarrow F_{sx} = F_{dx} = 0$

EQ. INDIFFERENTE

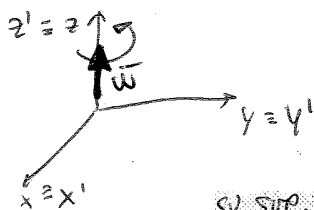
$$\begin{aligned} \bar{a} &= \frac{d\bar{v}}{dt} = \frac{d(\bar{v}_0 + \bar{v}' + \bar{\omega} \times \bar{r}')}{dt} = \frac{d\bar{v}_0}{dt} + \frac{d\bar{v}'}{dt} + \frac{d(\bar{\omega} \times \bar{r}')}{dt} \\ &= \bar{a}_0 + \frac{d(v_x \bar{i} + v_y \bar{j} + v_z \bar{k})}{dt} + \frac{d\bar{\omega}}{dt} \times \bar{r}' + \frac{d\bar{r}'}{dt} \times \bar{\omega} \\ &= \bar{a}_0 + \left( \frac{dv_x}{dt} \bar{i} + \frac{dv_y}{dt} \bar{j} + \frac{dv_z}{dt} \bar{k} \right) + \left( \frac{d\bar{j}}{dt} \cdot v_x + \frac{d\bar{i}}{dt} \cdot v_y + \frac{d\bar{k}}{dt} \cdot v_z \right) + \frac{d\bar{\omega}}{dt} \times \bar{r}' + \\ &\quad + \bar{\omega} \times (\bar{v}' + \bar{\omega} \times \bar{r}') \\ &= \bar{a}_0 + \bar{a}' + \bar{\omega} \times \bar{v}' + \frac{d\bar{\omega}}{dt} \times \bar{r}' + \bar{\omega} \times \bar{v}' + \bar{\omega} \times (\bar{\omega} \times \bar{r}') \\ &= \bar{a}_0 + \bar{a}' + 2\bar{\omega} \times \bar{v}' + \frac{d\bar{\omega}}{dt} \times \bar{r}' + \bar{\omega} \times (\bar{\omega} \times \bar{r}') \\ \bar{a} &= \bar{a}' + \underbrace{\bar{a}_0 + \bar{\omega} \times (\bar{\omega} \times \bar{r}') + \frac{d\bar{\omega}}{dt} \times \bar{r}'}_{\partial \tau} + \underbrace{2\bar{\omega} \times \bar{v}'}_{\partial c} \end{aligned}$$

$$\bar{F} = m \cdot \bar{a} \Rightarrow \bar{a} = \bar{a}' + \partial \tau + \partial c \Rightarrow \bar{F} = m(\bar{a}' + \partial \tau + \partial c) = m \cdot \bar{a}' + m \partial \tau + m \partial c$$

$$\bar{F} - \bar{F}_T - \bar{F}_C = m \cdot \bar{a}$$

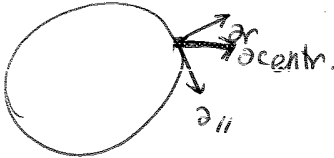
### ROTAZIONE TERRESTRE

$\bar{\omega} = \bar{\omega}$   
sola rotazione con  $\omega = \text{cost.}$



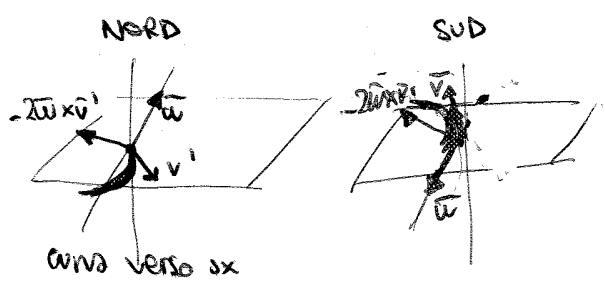
$$\bar{g} = \bar{g}' + \bar{\omega} \times (\bar{\omega} \times R_T) + 2\bar{\omega} \times \bar{v}' + \frac{d\bar{\omega}}{dt} \times \bar{r}'$$

$$\bar{g}' = \bar{g} - \bar{\omega} \times (\bar{\omega} \times R_T) - 2\bar{\omega} \times \bar{v}'$$



$\partial \text{centrifuga}$   
 $\partial \text{coriolis}$   
max eq, nulla ai poli

agisce solo su oggetti in moto ( $\bar{v}'$ )  
componente // max ai poli e nulla all'equatore  
componente  $\perp$  suob  
NORD  $\rightarrow$  verso  $dx$   
SUD  $\rightarrow$  verso  $sx$



Calcolo  $g$  conoscendo  $R_{T-L}$  e  $T$  rotazione WNA

$$F_{\text{sup. T.}} = mg \quad F_{G, T} = \frac{G M_T M_i}{R_T^2} \quad \text{corpo su sup. terrestre}$$

$$mg = \frac{G M_T M_i}{R_T}$$

$$F_{T, L} = \frac{G M_T \cdot M_L}{R_L^2} = M_L \cdot \omega_L^2 R_L$$

$$G M_T = \omega_L^2 R_L^3$$

$$g = \frac{G M_T}{R_T^2} = \frac{\omega_L^2 R_L^3}{R_T^2}$$

\*  $G$  si basa sull'ipotesi MASSA INERZIALE = MASSA GRAV.

### CAMPO GRAVITAZIONALE

$$F_{1,2} = \frac{G M_1 M_2}{R^2} \rightarrow g$$

$g$  = campo gravitazionale

→ generato dalla massa sorgente del campo nel punto  $P$  distante  $R$   
sempre attrattivo

$$\vec{F} = m \cdot \vec{g}$$

Se è dovuto a più masse puntiformi  $\vec{g} = \sum_{i=1}^N G_i = \sum_{i=1}^N \left( -\frac{G M_i}{R_i^2} \right)$

Se è dovuto a massa  $m$  contenuta in regione limitata si divide  $m$  in contributi infinitesimi  $dm$ :

$$d\vec{g} = -\frac{G dm}{R^2}$$

$$\vec{g} = \int -\frac{G dm}{R^2} \quad \text{con } dm = \rho dV$$

Se corpo puntiforme o distribuzione sferica uniforme  $\vec{g} = \frac{GM}{R^2}$

### ENERGIA POTENZIALE GRAVITAZIONALE

$$W = \int F ds = \int -\frac{G M_1 M_2}{R^2} ds = -\frac{G M_1 M_2}{R}$$

a distanze  $\infty \rightarrow E_p = 0$ .

### POTENZIALE GRAVITAZIONALE

$$V = \frac{E_p}{m} = -\frac{G M_1 m_2}{R} \cdot \frac{1}{m_2} = -\frac{G m_2}{R}$$

# URTI

## ① CONSERVAZIONE Q. MOTO

URTI ELASTICI → CONSERVAZIONE E, CIN

URTI ANAELASTICI → NON CONSERVAZIONE E, CIN

URTI COMPLETAMENTE ANAELASTICI → NON CONSER. E, CIN  
 corpi dopo l'urto hanno stessa v

≠ cons. energia cinetica e non meccanica perché si considera  $\Delta U = \text{cost.}$

ANTI COLLISIONE INELASTICA: ESPLOSIONE.

$$v_p = \left( \frac{m_B}{m_P} + 1 \right) \sqrt{2gH} \quad \text{PENDOLO BAUSTICO}$$

Ⓐ  $R^{(EXT)} = 0 \rightarrow p = \text{cost} \rightarrow v_{cm} = \frac{m_1 v_1 + m_2 v_2}{m_1 + m_2}$

Ⓑ  $\vec{v} = v_{cm} + v^*$

$v^* = v - v_{cm}$

Nel cm si conserva quantità moto  $\Rightarrow p_{cm}^* = 0$

$$\begin{cases} m_1 v_{1i}^* = -m_2 v_{2i}^* \\ m_1 v_{1f}^* = m_2 v_{2f}^* \end{cases}$$

se si conserva en. cin. → si scambiano v

$$v_{1f}^* = -v_{1i}^*$$

$$v_{2f}^* = -v_{2i}^*$$

$$v_{ALL} = -v_{AVV}$$

Ⓒ  $\vec{v} = v_{cm} + v^*$

collisioni elastiche:

•  $m_1 \rightarrow v_i \rightarrow v_f = -v_i$   
 $m_2 \rightarrow v = 0$

$m_2 > m_1$   
 $m_1$  torna indietro

$m_2 < m_1$   
 $m_1$  prosegue

$m_2 \gg m_1$

•  $m_1 = m_2$

$v_{1f} = v_{2i}$

$v_{2f} = v_{1i}$

$$v_{1f} = \frac{(m_2 - m_1)v_1 + 2m_2 v_2}{m_1 + m_2}$$

$$v_{2f} = \frac{(m_1 - m_2)v_2 + 2m_1 v_1}{m_1 + m_2}$$

momento di inerzia dipende da dove si prende asse di rotazione.

## CALCOLO MOMENTO D' INERZIA PER CORPO CONTINUO

Passaggio da sommatoria ad integrale, più che la massa è determinante la distanza dell'asse (termine al quadrato) → momento di sfera piena < sfera cava perché la massa è distribuita più lontano da asse

$$I = \int R^2 dm$$

$$\downarrow$$

$$I = \int R^2 \rho dV$$

$$\rho = \frac{m}{V} = \frac{dm}{dV}$$

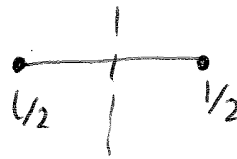
↑
↑  
 CASO OMogeneo      CASO GENERALE

### ① SBARRETTA SOTTILE 1D

•  $I_{cm} = \int x^2 dm$

$$\rho = \frac{dm}{dx} \rightarrow 1D$$

$$I_{cm} = \int_{-L/2}^{L/2} \rho x^2 dx$$



corpo omogeneo

$$I_{cm} = \rho \frac{x^3}{3} \Big|_{-L/2}^{L/2} = \frac{1}{12} ML^2$$

•  $I_{cm} = \int \rho x^2 dx = \rho \frac{x^3}{3} \Big|_0^L = \frac{\rho L^3}{3} =$

$$= \frac{M}{L} \cdot \frac{L^3}{3} = \frac{1}{3} ML^2$$



# ROTAZIONE E MOMENTO DELLE FORZE

$\vec{r}$  = vettore che congiunge punto di applicazione forza ad asse rotazione  
 importante non solo modulo forza ma punto applicazione e direzione

$$\vec{\tau}_0^{(F)} = \vec{r} \times \vec{F} \quad \text{max quando vettori sono } \perp$$

$$\tau_0^{(F)} = |\vec{r}| |\vec{F}| \sin \theta \rightarrow \vec{\tau} \perp \text{ piano foglio.}$$

○ uscente    ⊗ entrante



$\tau_0 \neq 0$  solo se componente  $\vec{F} \perp \vec{r} \neq 0$

$$\tau_0 = F (r \sin \theta) = b \cdot F \rightarrow \theta = 0 \quad \vec{r} \parallel \vec{F} \rightarrow b = 0$$

↳ braccio forza

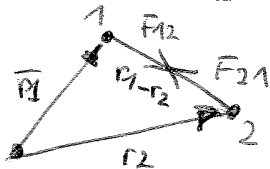
$$\tau_0 = r \cdot F \sin \theta = r F_T = r \cdot m a_T = r m \cdot \alpha r = m \cdot \alpha r^2 = \alpha \cdot (m r^2) = I \alpha$$

per singolo corpo puntiforme vale  $\tau_0 = I_0 \alpha$  forze collegate alle accelerazioni

per corpo rigido esteso:  $\tau_0^{(EXT)} = I_0 \alpha$

$$\vec{\tau}_0 = \sum_{i=1}^N \vec{r}_i \times \vec{R}_i = \sum_{i=1}^N \vec{r}_i \times \vec{R}_T = \sum_{i=1}^N r_i m_i \alpha r_i = \sum_{i=1}^N m_i r_i^2 \alpha = I_0 \alpha$$

## DIMOSTRAZIONE



$$F_{12} = -F_{21}$$

$$-F_{12} = F_{21}$$

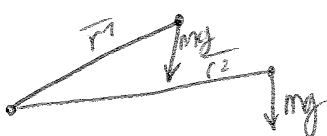
$$\begin{aligned} \vec{\tau}_0 &= \tau_0^{(F_{1,2})} + \tau_0^{(F_{2,1})} + \tau_0^{(EXT)} = \\ &= \vec{r}_1 \times \vec{F}_{12} + \vec{r}_2 \times (-\vec{F}_{12}) + \tau_0^{(EXT)} = \\ &= (\vec{r}_1 - \vec{r}_2) \times \vec{F}_{12} + \tau_0^{(EXT)} \end{aligned}$$

2<sup>a</sup> EQ. ...  
 ...  
 DINAMICA

$$\tau_0 = \tau_0^{(EXT)} = I_0 \alpha$$

vale anche nel caso generale

## MOMENTO FORZA PESO



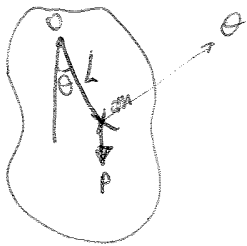
$$\begin{aligned} \tau_0^{(P)} &= \vec{r}_1 \times m_1 \vec{g} + \vec{r}_2 \times m_2 \vec{g} \dots = \vec{r}_1 m_1 \times \vec{g} + m_2 \vec{r}_2 \times \vec{g} \\ &= \frac{M}{M} \sum_{i=1}^N m_i \vec{r}_i \times \vec{g} = \vec{R}_{cm} \times M \vec{g} \end{aligned}$$

momento si calcola concentrando tutta la massa nel cm

## BARICENTRO

punto in cui collocata massa del corpo per calcolarne momento, in tal caso coincide con cm perche  $\vec{g}$  = per tutti i punti.  
 se  $\vec{g} \neq \text{costante} \Rightarrow |\vec{r}_c| = \vec{r}_b M \vec{g} \rightarrow \vec{g}$  medio sul corpo.

# PENDOLO FISICO



$$\tau_o^{(P)} = I_o \alpha$$

$$L \cdot P \cdot \sin \theta = I_o \alpha \rightarrow \alpha = -\frac{d^2 \theta}{dt^2}$$

$$I_o \frac{d^2 \theta}{dt^2} + LMg \sin \theta = 0$$

$$\frac{d^2 \theta}{dt^2} + \omega^2 \sin \theta = 0 \quad \omega^2 = \frac{LMg}{I_o}$$

nel pendolo semplice  $\omega^2 = \frac{g}{L}$

$$I_o = LMg \left( \frac{I}{2\pi} \right)^2$$

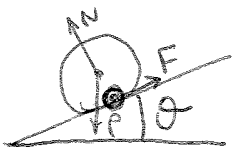
# ROTAZIONE INTORNO ASSE IN MOVIMENTO

$$R = M \cdot \partial_{cm}$$

$$\tau_{cm} = I_{cm} \alpha \quad \partial = \alpha R$$

se asse di rotazione è in movimento ma con direzione fissa, cioè non cambia piano.

• PURO ROTOLAMENTO  $\rightarrow v_{cm}$  legata direttamente a  $\omega$



$$\begin{cases} \bar{R} = M \bar{\partial}_{cm} \\ \tau_{cm}^{(z)} = I_{cm} \alpha \end{cases}$$

3 eq.  
3 in.

$$X: -Fs + mg \sin \theta = M \partial_{cm}$$

$$Y: N - Mg \cos \theta = 0$$

$$\tau: \tau_{cm}^{(R)} = \tau_{cm}^{(F)} + \cancel{\tau_{cm}^{(N)}} + \cancel{\tau_{cm}^{(M)}} \rightarrow RF\partial = I_{cm} \alpha$$

$b=0$

$$\partial_{cm} = \alpha R$$

$$-Fs + mg \sin \theta = M \alpha R \rightarrow Fs = M (g \sin \theta - \partial_{cm})$$

$$RFs = I_{cm} \frac{\partial_{cm}}{R}$$

$$R \cdot M (g \sin \theta - \partial_{cm}) = I_{cm} \frac{\partial_{cm}}{R}$$

$$RMg \sin \theta - RM \partial_{cm} = I_{cm} \frac{\partial_{cm}}{R}$$

$$RMg \sin \theta = \partial_{cm} \left( \frac{I_{cm}}{R} + RM \right)$$

$$g \sin \theta = \partial_{cm} \left( \frac{I_{cm}}{MR^2} + 1 \right) \rightarrow a_{cm} = \frac{g \sin \theta}{1 + \frac{I_{cm}}{MR^2}}$$

$$a_{cm} = \frac{g \sin \theta}{1 + \frac{I_{cm}}{MR^2}}$$

# FLUIDI

Qualsiasi insieme di particelle puntiformi non dotate di forma propria, ma assumono forma del contenitore.

GAS → prevalgono forze repulsive, tendono ad occupare posizioni il più lontano possibile tra loro

LIQUIDI → occupano recipiente a strati, partendo da quelli più bassi  
 → prevalgono forze attrattive tra molecole

Sono sistemi CONTINUI →  $dm = \rho dV$

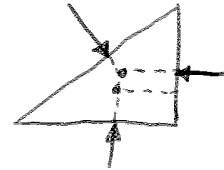
In stato di QUIETE → forze tra gli elementi  $\perp$  superficie di separazione

FORZE DI VOLUME → proporzionali a  $dV$

possono essere → DI PESO  $gdM = \rho g dV$

DI SUPERFICIE  $dF = p dS$

PRESSIONE NON DIREZIONALE →  $p = \frac{dF}{dS} = \frac{F}{S}$  dimostrata con principio di solidificazione



$$p = \frac{\Delta m}{\Delta V}$$

$$p = \frac{\Delta F}{\Delta A}$$

connessi da MODULO DI COMPRESSIBILITÀ  $B$

$$B = \frac{\Delta p}{(-\Delta V/V)}$$

pressione / variazione frazionaria di  $V$

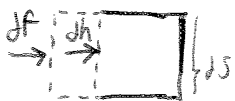
SOLIDI:  $B \rightarrow \infty$ , incompressibili  
 LIQUIDI:  $B$  grande,  $\approx$  incompressibili, variaz. fraz. non volume  
 GAS:  $B$  piccolo, molto comprimibile, dipende da pressione

$$1 \text{ Pa} = 1 \text{ N/m}^2$$

$$10^5 \text{ Pa} = 1 \text{ bar}$$

$$133.33 \text{ Pa} = \frac{1}{760} \text{ atm} = 1 \text{ torr} = 1 \text{ mmHg}$$

## LAVORO PRESSIONI



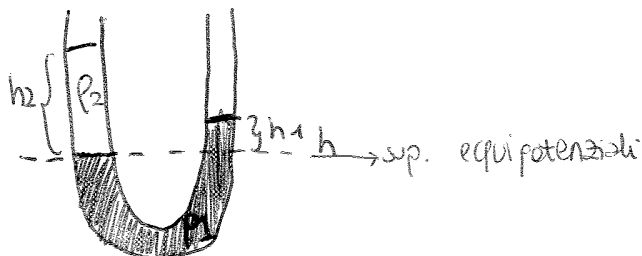
$dF = p \cdot dS$  → agisce  $\perp$  superficie, si sposta concordemente a forza di quantità  $dh$

$$dW = dF \cdot dh = p dS dh = p dV$$

spostamento infinitesimo.

$$\int dW = \int p \cdot dV$$

$$W = \int p \cdot dV$$



$$p_2 = p_0 + \rho_2 g h_2$$

$$p_1 = p_0 + \rho_1 g h_1$$

alla stessa altezza h, stessa pressione

$$p_2 = p_1$$

$$p_0 + \rho_2 g h_2 = p_0 + \rho_1 g h_1$$

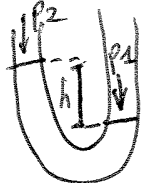
$$\frac{\rho_2}{\rho_1} = \frac{h_1}{h_2}$$

$h_2 > h_1$ , quindi  $\frac{h_1}{h_2} < 1$ , quindi anche  $\frac{\rho_2}{\rho_1} < 1$ , perciò  $\rho_2 < \rho_1$

$$\frac{\rho_2}{\rho_1} = \frac{h_1}{h_2} = 1 - \frac{d}{h_2} \quad \text{con } d = h_2 - h_1$$

$h_1$  e  $h_2$  inversamente proporzionali alle densità  $\rightarrow$  misura densità relativa.

④ MANOMETRO A U: rami comunicano con 2 ambienti a pressioni diverse



$$p_1 > p_2$$

$$h = \frac{p_1 - p_2}{\rho g}$$

⑤ BAROMETRO TORRICELLI: manometro ad U con un ramo chiuso e un ramo aperto a  $p_{atm}$ , dislivello  $h$  è dovuto solo a  $p_{atm}$  e non a vapori di mercurio e vale  $\rho g h$  ( $h = 760$  m)

⑥ PRESSIONE ATM e le sue VARIAZIONI [267]

IN GENERALE: EQUILIBRIO STATICO DI UN FLUIDO

$a=0, v=0$  sistema di riferimento inerziale

su  $dm$  agiscono

FORZE DI PRESSIONE (le cui componenti agiscono su  $z$ )

$$\begin{aligned} p(z) dS - p(z+dz) dS &= \\ &= dS \left\{ p(z) - \left[ p(z) + \frac{\partial p}{\partial z} dz \right] \right\} = \\ &= - \frac{\partial p}{\partial z} \cdot dz \cdot dS = - \frac{\partial p}{\partial z} \cdot dV \end{aligned}$$

FORZE DI VOLUME, le cui componenti su  $z$  sono:

$$f_z dm = f_z \rho dV$$

CONDIZIONE EQUILIBRIO  $\rightarrow F_p + F_v = 0$

$$- \frac{\partial p}{\partial z} dV + f_z \rho dV = 0$$

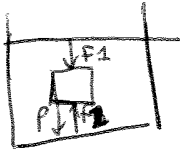
$$f_z \rho = \frac{\partial p}{\partial z}$$

La stessa vale per gli altri assi e quindi si ha:  $\rho \vec{f} = \text{grad } p = \rho \vec{f}$

# PRINCIPIO DI ARCHIMEDE

$$F_B = (p_2 - p_1) \cdot A = \rho g (y_2 - y_1) A = \rho g \cdot V = mg = P \rightarrow \text{peso del liquido spostato}$$

↓ spinta di galleggiamento o di Archimede



$$F_1 + P - F_2 = 0$$

$$(p_1 - p_2)A + mg = 0$$

$$m = \frac{\rho_{\text{ogg}} \cdot A (y_2 - y_1)}{g}$$

$$F_B = F_1 - F_2$$

$$(p_1 - p_2)A + \rho_{\text{ogg}} A (y_2 - y_1) \cdot g = ?$$

$$F_B = -\rho_{\text{ogg}} A (y_2 - y_1) g = \rho_{\text{liq}} A (y_2 - y_1) g \quad \text{STEVINO}$$

$$\rho_{\text{liq}} A (y_2 - y_1) g - \rho_{\text{ogg}} A (y_2 - y_1) g = m \cdot a$$

$$\rho_{\text{liq}} > \rho_{\text{ogg}} \Rightarrow a > 0 \quad \uparrow$$

corpo galleggia se ha densità minore della densità del fluido in cui è immerso  
possiamo calcolare la parte immersa, perché  $F_{\text{Archimede}}$  agisce solo sulla parte di volume immersa.

Da volume immerso posso conoscere densità e viceversa

$\Rightarrow a = 0$  oggetto in equilibrio

$$F_B = \rho_{\text{liq}} \cdot V_{\text{liq}} \cdot g = \rho_{\text{ogg}} \cdot V_{\text{ogg}} \cdot g$$

$$\frac{\rho_{\text{liq}}}{\rho_{\text{ogg}}} = \frac{V_{\text{ogg}}}{V_{\text{spostato}}}$$

# PRINCIPIO PASCAL: TORCHIO IDRAULICO

1)  $\Delta p = \rho g \Delta y$

2)  $F_B = W_{\text{liquido spostato}} (W = \text{peso})$

Spiega come cambiamento di pressione è trasmesso nel liquido  
 F aumenta ma liquido è incompressibile, quindi viene trasmessa in modo uguale dall'altra parte (trasmessa stessa  $\Delta p$ ) in verso opposto e in base all'area.

Ogni  $\Delta p$  trasmesso nel fluido allo stesso modo

$$\frac{F_1}{A_1} = \frac{F_2}{A_2}$$

→ volumi spostati  $d_1 A_1 = d_2 A_2 = V$   
 $d_2 = \frac{d_1 A_1}{A_2}$

incompressibile rimane costante

Lavoro:  $\int F ds$

$$F_1 d_1 = F_2 d_2$$

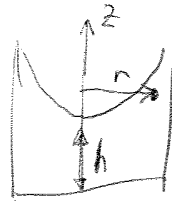
LAVORO  $F_2$   $F_2 d_2 \Rightarrow F_2 \frac{d_1 A_1}{A_2}$

$P \frac{d_1 A_1}{A_1} = \frac{F_1}{A_1} \frac{d_1 A_1}{A_1}$  LAVORO  $F_1$

$$P = \frac{F_1}{A_1} = \frac{F_2}{A_2}$$

## CONSERVAZIONE ENERGIA (= LAVORO)

### LIQUIDO IN ROTAZIONE: $z = h + \frac{\omega^2 r^2}{2g}$



## ATTRITO INTERNO

Scombinamento relativo tra due elementi di fluido lungo l'area di contatto una forza tangenziale all'attrito: F. ATTRITO INTERNO, verso contrario a velocità relativa.

Se  $v_1 > v_2$ , F. ATTRITO interno ritarda il primo e accelera il secondo

$$dF = \eta \frac{dv}{dn} ds$$

area di contatto

viscosità fluido (tipo fluido, T)

gas  $\rightarrow M \uparrow T \uparrow$   
 liquidi  $\rightarrow M \downarrow T \uparrow$

$$M \rightarrow \frac{kg}{ms} \rightarrow 1 \text{ poise} = 10^{-1} \text{ kg/ms}$$

porta alla conformazione del liquido in rotazione (paraboloide)

FLUIDO IDEALE  $\mu = 0$   $\rho = \text{costante}$ , non viscoso e incompressibile

in un fluido in EQUILIBRIO STATICO  $dv/dn = 0$ , non ci sono forze tangenziali  
 stesso per fluido con  $\mu = 0$  o  $\mu \neq 0$  solo in un fluido in movimento viscosità

## APPLICAZIONI

① **TORRICELLI** : FLUSSO IN TUBO A **SEZIONE** COSTANTE

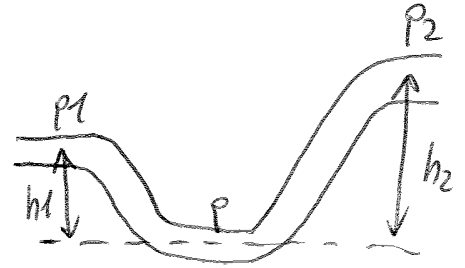
se  $S = \text{costante} \rightarrow v_m \cdot S = \text{costante} \rightarrow \vec{v}$  è costante  
 pertanto non cambia energia cinetica  $\rightarrow v_1 = v_2$

$$p_1 + \rho z_1 g = p_2 + \rho g z_2$$

Se è presente un dislivello  $h = z_2 - z_1$  :

$$\Delta p = \rho g h$$

come se liquido fosse in quiete



Pressione massima nel punto più basso e decresce con quota

### Esercizio

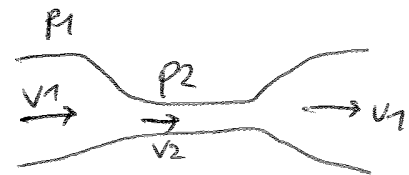
Se si vuol far salire fluido di una quota  $h$  con certa portata  $q = S \cdot v$   
 la pompa deve assicurare  $\Delta p = \rho g h$  che corrisponde alla forza  $\rho g h \cdot S$  ad una potenza  $\rho g h (S \cdot v) = \rho g h \cdot q$   
 Per far salire acqua di 1 m con portata 1 l/s  
 $P = 10^3 \cdot 9,8 \cdot 1 \cdot 10^{-3} = 9,8 \text{ W}$

② **TUBO DI VENTURI** : NON VARIA  $h$  MA SEZIONE

Usato per misure di  $v$  e portata

$$p_1 + \frac{1}{2} \rho v_1^2 = p_2 + \frac{1}{2} \rho v_2^2$$

inoltre

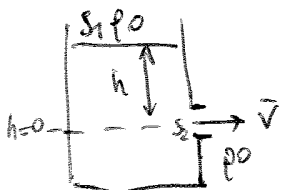


con  $v_1 S_1 = v_2 S_2$

$$v_2^2 = \frac{2(p_1 - p_2)}{\rho} \cdot \frac{S_1^2}{S_1^2 - S_2^2}$$

Da  $\Delta p \rightarrow v_1/2 \rightarrow$  portata

③ **TEOREMA TORRICELLI**



$S_1 \gg S_2$ , velocità deflusso bassissima, quindi liquido considerato in quiete su sup. libera

Per Bernoulli:  $(p + \frac{1}{2} \rho v^2 + \rho g z)_{\text{sup}} = (p + \frac{1}{2} \rho v^2 + \rho g z)_{\text{foro}}$

su sup. libera  $p = p_0, v = 0$ :

$$p_0 + \frac{1}{2} \rho v^2 + \rho g z = p_0 + \frac{1}{2} \rho v^2 + \rho g z \Rightarrow v = \sqrt{2gh}$$

$v$  stessa che avrebbe liquido in caduta libera da  $h$ , indipendente da  $\rho$  e  $p_0$

# TERMODINAMICA

COORDINATE TERMODINAMICHE = variabili indipendenti che cambiano durante trasformazioni termodinamiche, in funzione delle quali si esprimono tutte le proprietà del sistema.

Il tempo non compare esplicitamente come in meccanica.  
 $P, V, T, (n, m)$

## PRINCIPIO DELL'EQUILIBRIO TERMICO o PRINCIPIO 0:

\* Se due gas, o più in generale due sistemi, sono in equilibrio termico hanno la stessa temperatura.

EQUILIBRIO TERMICO  $\left\{ \begin{array}{l} A, B \text{ in contatto} \\ \text{grandezze macroscopiche che caratterizzano } A, B \text{ non} \\ \text{cambiano nel tempo} \\ \text{stessa temperatura!} \rightarrow \text{rende valido principio 0.} \end{array} \right.$

se A ha la stessa temperatura di B (cioè equilibrio termico) e B è in equilibrio termico con C, allora A è in equilibrio termico con C.

$$T_A = T_B \quad \& \quad T_B = T_C \quad \Rightarrow \quad T_A = T_C$$

La temperatura può essere messa in relazione con volume (e pressione) di una sostanza.

PROPRIETÀ TERMOMETRICHE: proprietà fisiche che dipendono da  $T \rightarrow V, P$

Molti termometri hanno scale tarate su variazioni di volume di una data sostanza (mercurio).

• CELSIUS 0 - 100

$$1^\circ\text{C} = \frac{T_{\text{ebollizione H}_2\text{O}} - T_{\text{cong H}_2\text{O}}}{100} = \Delta T$$

• FARHENEIT

$$1^\circ\text{F} = \frac{T_{\text{corpo umano}} - T_{\text{cong H}_2\text{O}}}{100} = \Delta T$$

$$1^\circ\text{F} = \frac{5}{9} 1^\circ\text{C}$$

$$0^\circ\text{C} = 32^\circ\text{F}$$

• KELVIN

$$\Delta T = 1\text{K} = 1^\circ\text{C}$$

$$T_F = \frac{9}{5} T_C + 32$$

$$T_F = \frac{9}{5} (-273^\circ\text{C}) + 32$$

$$0^\circ\text{C} = 32^\circ\text{F}$$

$$0\text{K} = -273,15^\circ\text{C}$$

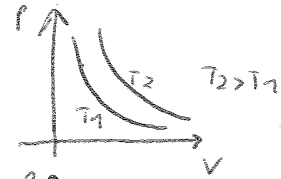
$$0\text{K} = -460^\circ\text{F}$$

# GAS IDEALI

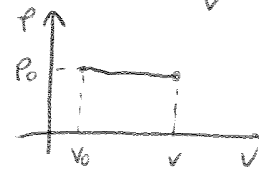
$P = \frac{F}{A}$ ,  $T$ ,  $V$ ,  $n(m)$  → legate a caratteristiche microscopiche gas

Trasformazioni rappresentate sul piano (P, V)

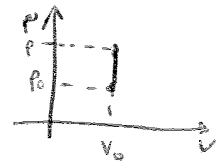
LEGGE ISOTERMA BOYLE:  $P \cdot V = \text{costante}$



LEGGE ISOBARA VOLT- GAY LUSSAC:  $V = V_0 + k \cdot t$



LEGGE ISOCORA VOLT- GAY LUSSAC:  $P = P_0 + \rho \cdot t$



$$\alpha = \beta = \frac{1}{273.15^\circ \text{C}}$$

$$T = \frac{1}{\alpha} + t = 273.15 + t \quad t \text{ in } ^\circ \text{C}$$

EQUAZIONE DI STATO DEI GAS IDEALI:  $PV = nRT$

## TEORIA CINETICA GAS IDEALI

- obiettivo: collegare  $T$  e  $P$  gas al moto singole particelle
- caratteristiche particelle in moto:

- ① velocità casuali
- ② ciascuna direzione ugualmente probabile
- ③ distribuzione velocità → MAXWELL → velocità più probabile:

$$v_r = \sqrt{\frac{2k_B T}{m}}$$

Definizione gas ideale:

① RAREFATTO, cioè bassa densità, molecole occupano frazione trascurabile di volume ciò permette di considerare nulli urti tra molecole e forze di azione e reazione tra loro; gli urti avvengono solo con le pareti del recipiente.

② URTI ELASTICI, energia = somma singole energie delle molecole non c'è energie potenziale di interazione ed è trascurabile effetto gravitazionale

Atmosfera  $\cong$  gas perfetto

# PRINCIPIO E QUIPARTIZIONE ENERGIA

$$P = \frac{2}{3} \frac{N}{V} \langle K_{TRASL} \rangle$$

$$\rightarrow \langle K_{TRASL} \rangle = \frac{3}{2} \frac{PV}{N}$$

$$PV = nRT$$

$$\langle K_{TRASL} \rangle = \frac{3}{2} \frac{nRT}{N}$$

$$nN_0 = N \rightarrow N_0 = \frac{N}{n}$$

$$\langle K_{TRASL} \rangle = \frac{3}{2} \frac{R}{N_A} \cdot T$$

$$\frac{R}{N_A} = k_{\text{BOLZMANN}}$$

temperatura proporzionale  
a en. cinetica di traslazione

$$\langle K_{TRASL} \rangle = \frac{3}{2} k_B T$$

Ogni grado di libertà nella molecola contribuisce in media con energia pari a  $\frac{1}{2} k_B \cdot T$ .

Ogni termine quadratico indipendente nell'energia di una particella di un gas contribuisce all'energia media (termini al quadrato non negativi)

$$\langle K_{TRASL} \rangle = \frac{1}{2} m \langle v_x^2 \rangle + \frac{1}{2} m \langle v_y^2 \rangle + \frac{1}{2} m \langle v_z^2 \rangle \rightarrow \text{tre gradi di libertà, } v_x, v_y, v_z \text{ sono indipendenti e al quadrato}$$

$$= \frac{3}{2} k_B T$$

$$P = \frac{2}{3} \frac{N}{V} \langle K_{TRASL} \rangle \rightarrow P = \frac{2}{3} \frac{N}{V} \cdot \frac{3}{2} k_B T \rightarrow \boxed{PV = Nk_B T}$$

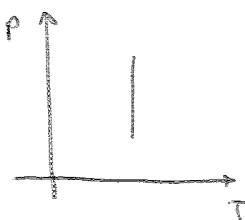
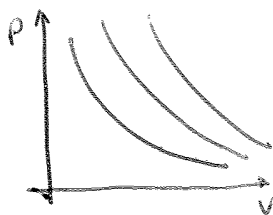
LEGGE STATO GAS PERFETTI

$N$  = numero molecole =  $n$  moli  $\cdot N_A$  (=  $n^{\circ}$  molecole contenute in una mole)

$$P \cdot V = N k_B T \rightarrow PV = n \cdot N_A k_B T \rightarrow \boxed{PV = nRT}$$

$k_B = \frac{R}{N_A}$

## DIAGRAMMI P-V, P-T GAS IDEALI



Due delle variabili continuano a determinare la terza e questo vale per gas ideali e reali

# 1ª LEGGE TERMODINAMICA

$$\Delta U = Q_{\text{ASS}} + W_{\text{SUL}}$$

$$\Delta U = Q - W_{\text{DAL}}$$

ENERGIA SI CONSERVA

## ENERGIA INTERNA GAS IDEALE

gas monoatomico  $U = \frac{3}{2} NKT$

biatomico  $U = \frac{5}{2} NKT$

molecole non lineari  $U = \frac{6}{2} NKT = 3 NKT$

qualsiasi gas ideale classico:  $U = \alpha NKT = \alpha pV$

con  $\alpha$  dipende dal tipo di molecola, solo in certi range di T

con principio equipartizione Maxwell voglio calcolare tutta energia e non solo traslazionale.

- monoatomico → nell'approssimazione corpo puntiforme si assume che molecola non rotati:

$$U = KTRAL = KTR$$

- biatomico → 3 gradi libertà traslazionali (x, y, z)  
2 gradi libertà rotazionali (wx, wy)

- molecole non lineari → 3 traslazionali (x, y, z)  
(3 rotazionali (wx, wy, wz)) elastici

## VARIAZIONE ENERGIA INTERNA

L'ambiente può fare lavoro sul sistema W  
calore può essere scambiato con ambiente Q

U FUNZIONE DI STATO → dipende solo da stato fisico sistema in un dato momento.

W, Q ENERGIA DI TRASFERIMENTO → descrivono flusso di energia, non quantità totale di energia presente e dipendono dal passato.

Apparato sperimentale utilizzato da Joule calcola calore corrispondente ad un

# TRASFORMAZIONI DEL SISTEMA FLUIDO CON NUMERO ELEVATO DI PARTICELLE

Non posso analizzare movimento singole particelle, perciò descivo movimento complessivo, usando come variabili  $P, V, T$ .

$$W_{SUL} = \int_{V_i}^{V_f} P dV = - W_{DAL}$$

$$U_{INT} = \alpha n TR$$

↳ tipo particella (monoatomico, biatomico, ...)  
 ↳ funzione di stato nelle variabili  $P, T, V$

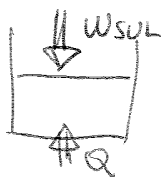
↑  
GAS IDEALE

$\alpha = \frac{3}{2}$  monoatomico

$\alpha = \frac{5}{2}$  biatomico

$\alpha = 3$  poliatomico

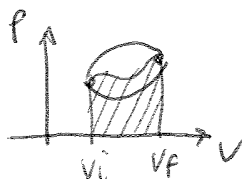
$Q$  è energia termica o calore che può far variare  $U$   
 $Q > 0$  assorbito dal sistema  
 $Q < 0$  ceduto dal sistema



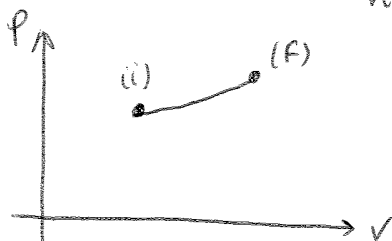
$$\Delta U = Q + W_{SUL}$$

se sistema non isolato, la sua energia varia se  $\left\{ \begin{array}{l} \text{fornisco calore} \\ \text{opero sul sistema} \end{array} \right.$

$$W = \int P dV$$



Lavoro NON è funzione di stato



Solo per reversibili, altrimenti non saprei  $P$  e  $V$ .

## TRASFORMAZIONI

### REVERSIBILI

- passano istante per istante attraverso stati di equilibrio
- con  $P, V, T$  note;
- sempre possibile riportare nei rispettivi stati iniziali il sistema e l'ambiente

### IRREVERSIBILI

- passano attraverso stati di non equilibrio
- non è possibile tornare allo stato di partenza senza modificare il resto dell'universo. Il sistema può essere riportato allo stato iniziale attraverso altre trasformazioni ma ambiente è modificato irreversibilmente

vale anche per queste 1° PRINCIPIO TERMODINAMICA

c) PROCESSO ADIABATICO ( $Q=0$ ) di gas ideale ( $\alpha$ )

$PV^\delta = \text{costante}$

1° PRINCIPIO TRASF. ADIABATICA :

$Q=0$

$\Delta U = W_{\text{SOL}}$

gas ideale:  $\alpha nRdT = -pdV = - \frac{nRT}{V} dV$   $\nearrow P$

$\alpha nRdT = - \frac{nRT}{V} dV$

$\alpha \frac{dT}{T} = - \frac{nR}{nR} \frac{dV}{V}$

$\int \alpha \frac{dT}{T} = \int - \frac{dV}{V}$

$\alpha \ln T \Big|_{T_i}^T = - \ln V \Big|_{V_i}^V$

$\ln T^\alpha + \ln V = \underbrace{\alpha \ln T_i + \ln V_i}_{\text{cost}}$

conosco stato iniziale e voglio calcolare PV qualsiasi.

$\ln T^\alpha V = \text{cost}$

$VT^\alpha = \text{cost}$

$T = \frac{PV}{nR}$

$P^\alpha V^{\alpha+1} = \text{cost}$

$P V^{\frac{\alpha+1}{\alpha}} = \text{cost}$

radice  $\alpha$ -esima elevando alla  $\frac{1}{\alpha}$

$PV^\delta = \text{cost}$

riporto trasformazioni nel piano PV dove posso rappresentarlo.

# TRASFORMAZIONI CICLICHE

(punto) stato arrivo = stato finale

$\Delta U = 0$  perché funzione di stato

$Q = W_{DAL}$  → la trasformazione completa di calore in lavoro è un concetto limitato dal 2° PRINCIPIO, cioè alcune trasformazioni soddisfano tale condizione ma sono ideali.

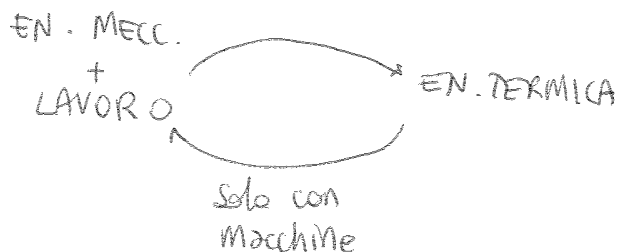
## 1° PRINCIPIO

- esprime ciò che si conserva
- Ogni forma di energia può trasformarsi in un'altra, ma l'energia totale rimane costante (tale energia è sempre media tra le particelle).

$$U_B = U_A + Q + (-W_{DAL})$$

1° principio non dà indicazioni sulla direzione nella quale avvengono le trasformazioni,

Solo l'entropia dà un'indicazione dell'ordine temporale nel quale avvengono le trasformazioni.



## 2° PRINCIPIO

(a) CLAUSIUS: impossibile trasformazione il cui unico risultato sia trasferire calore da un corpo più freddo ad uno più caldo.

(b) KELVIN - PLANK: impossibile trasformazione ciclica il cui unico risultato sia trasformare in lavoro tutto il calore assorbito da una sorgente a  $T$  omogenea.

## CALORIMETRIA

$$\Delta U = Q + W_{SUL} = Q - W_{DAL}$$

$$Q = C \Delta T \quad \left\{ \begin{array}{l} n \cdot c_v \rightarrow \text{calore specifico molare a volume costante} \\ n \cdot c_p \rightarrow \text{calore specifico molare a pressione costante} \end{array} \right.$$

$$c_v = \frac{Q}{n \Delta T} \quad v \text{ cost}$$

$$c_p = \frac{Q}{n \Delta T} \quad p \text{ cost}$$

Nei passaggi di stato viene fornito calore al sistema, ma non si verifica aumento di  $T$ , perché calore = en. cin. usata per rompere legami tra particelle

per sostanze liquide e solide  $\rightarrow c =$  calore specifico per unità di massa

$$C = m \cdot c$$

$$c = \frac{C}{m} \Rightarrow Q = c m \Delta T$$

specifico per sostanza, più è elevato e più calore è necessario per aumentare di 1 grado la temperatura di 1 chilo di sostanza, ci vuole + tempo.

## NEI PASSAGGI DI STATO

$$Q = m(L) \rightarrow \text{COEFF. CALORE LATENTE TRASFORMAZIONE DI STATO}$$

FUSIONE

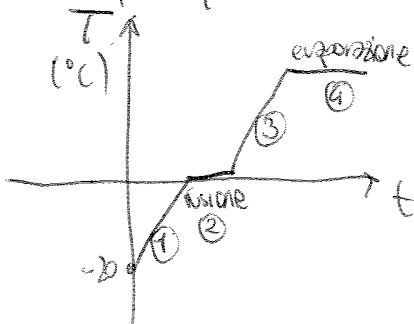
$L_f$

EVAPORAZIONE

$L_e$

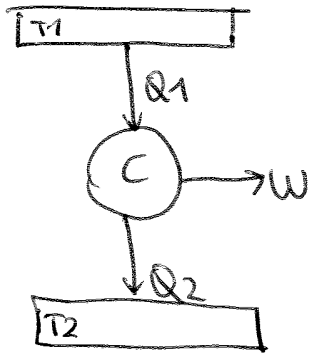
## Esercizio

$Q$  per portare allo stato gassoso 1,5 kg ghiaccio con  $T_i = -20^\circ\text{C}$

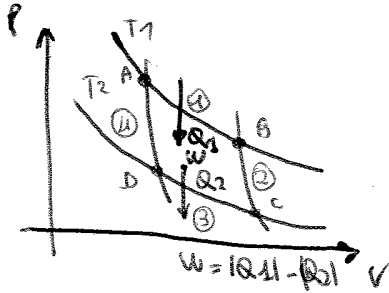


$$Q = Q_1 + Q_2 + Q_3 + Q_4 = c m \Delta T + m L_f + c m \Delta T + m L_e = 4,6 \text{ MJ}$$

# MACCHINA DI CARNOT



Macchina compie lavoro  $W$  attraverso cicli di contrazione ed espansione del fluido.



① ESPANSIONE ISOTERMA

$$T = \text{cost} \Rightarrow U = \text{cost} \Rightarrow \Delta U = 0$$

$$\Delta U = Q - W_{\text{dal}}$$

$$Q = W_{\text{dal}}$$

Trasforma calore assorbito interamente in lavoro

② ESPANSIONE ADIABATICA

$$Q = 0$$

$$\Delta U = -|W_{\text{dal}}|$$

$\Delta U < 0$  sistema si raffredda e passa a  $T_2 < T_1$

③ COMPRESIONE ISOTERMA

$$\Delta U = 0$$

$$-Q = W_{\text{sul}}$$

Compressione eseguita sul sistema provoca  $Q < 0$ , cioè si libera calore.

④ COMPRESIONE ADIABATICA

$$Q = 0$$

$$\Delta U = W_{\text{sul}}$$

Lavoro positivo fatto sul sistema fa aumentare energia interna e quindi  $T$ , si passa da  $T_2$  a  $T_1 > T_2$ .

$$\boxed{\eta = \frac{W}{Q_1}} = \frac{Q_1 - |Q_2|}{Q_1} = 1 - \frac{Q_2}{Q_1} = \boxed{1 - \frac{Q_C}{Q_A}} = \boxed{1 - \frac{T_2}{T_1}}$$

$Q_2$  isoterma  $T_2$   
 $Q_1$  isoterma  $T_1$

→ 1° principio per isoterme

$$\Delta U = 0 \text{ perché } T = \text{cost}$$

$$0 = Q + W_{\text{sul}}$$

$$Q = -W_{\text{sul}} = +W_{\text{dal}} = \int_{v_i}^{v_f} p dV =$$

$$= nRT \int_{v_i}^{v_f} \frac{dV}{V} = nRT \log \frac{v_f}{v_i}$$

per gas ideali

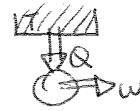
①  $Q_1 = nRT_1 \ln \frac{v_2}{v_1}$

②  $-Q_2 = nRT_2 \ln \frac{v_4}{v_3} = +nRT_2 \ln \frac{v_3}{v_4}$

Ho molecole nella configurazione finale posizionate tra loro + lontano possibile → + stabile  
 Perciò altamente improbabile che si torni a configurazione iniziale, probabilità ≈ 0.

ENTROPIA E PROBABILITÀ

Violazione kelvin → violazione entropia



→ impossibile macchina che trasformi tutto calore in lavoro con 1 sola sorgente T.

Entropia:  $\Delta S = \Delta S_m + \Delta S_A = -\frac{|Q|}{T} < 0$

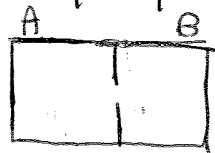
$\Delta S_m$  → variazione entropia macchina ciclo = 0 perché F Stato.  
 $\Delta S_A$  → calore assorbito macchina = ceduto (-) ambiente

→ IMPOSSIBILE ENTROPIA ≤ 0

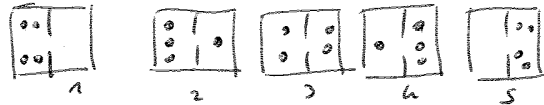
Macchina inesistente per kelvin implica diminuzione entropia universo (stesso per frigoriferi)

Sistema passa da stato meno probabile a più probabile.

4 molecole  $P(A) = \left(\frac{1}{2}\right)^n$



MICROSTATI = tutte possibili disposizioni =  $2^n \rightarrow 2^4 = 16$   
 Configurazioni sono 5 = n + 1



configurazione più probabile è che siano distribuite equamente

4 molecole: 37,5%  
 100 molecole:  $\frac{1}{10^{29}}$  → molt. configurazione equipartizione  
 1 mole,  $6,022 \cdot 10^{23}$  : enorme

LEQUAZIONE ENTROPIA BOLTZMAN

Per calcolo entropia di uno stato del sistema in relazione alla sua probabilità

$S = k \cdot \ln(W)$  → molt. configurazione = n° modi diversi per ottenere una configurazione

$S = k (-\ln P)$   $P = \frac{W}{N_{tot} \text{ configurazioni}}$

2° principio: certi eventi non sono impossibili ma estremamente improbabili

Esempio

$N_{tot} = 16 = 1 + 4 + 6 + 4 + 1$

$W = 1, 4, 6, 4, 1$

$\downarrow$   
 molt. 1  
 tutte ass  
 $\downarrow$   
 $S_1 = k \cdot \ln 1 = 0$

$\rightarrow$  equipartizione  $W = 4$   
 $S_4 = k \ln 4 > 0$

incertezza 0, minor probabilità, maggior certezza →  $S_1 = k \cdot \ln 1 = 0$   
 incertezza > 0, maggiore probabilità, minore certezza → info su disposizione microscopica